

Угловое распределение коллимированного излучения

Э. Ф. Фомушкин

В настоящей работе для вычисления характеристик распространения излучения используется метод, основанный на применении элементов теории вероятностей. Подобный метод использовался, например, при решении задачи Бюффона [1]. Этот метод заключается в следующем. Совокупность всех значений параметров, определяющих распространение излучения (координаты начала траектории, орбитальный и азимутальный углы вылета), образует так называемое поле событий. Объем поля событий в большинстве случаев вычисляется без затруднений. Влияние коллимации приводит к тому, что только часть значений параметров удовлетворяет условию прохождения через коллиматор. Эта часть образует поле событий, благоприятствующих явлению, в нашем случае — прохождению через коллиматор. Отношение объема поля событий, благоприятствующих явлению, к полному объему поля событий равно вероятности данного явления. При этом способ осуществления коллимации не играет никакой роли; она может, например, осуществляться формой и взаимным расположением источника и детектора, а также конфигурацией коллиматора с поглощающими стенками.

Коллимирующая система конической формы, показанная на рис. 1, обычно осуществляется при регистрации излучения от плоского круглого источника радиуса r детектором радиуса R ; центры обоих кругов находятся на одной нормали.

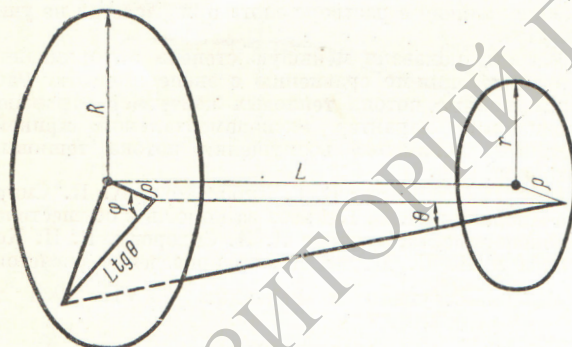


Рис. 1. Коллимирующая система конической формы.

Нетрудно показать, что в этом случае поле событий — круг радиуса r , а поле событий, благоприятствующих попаданию частицы на детектор, — общая часть двух кругов с радиусами r и R .

Вероятность попадания частицы на детектор в зависимости от угла θ равна

$$\text{при } m = \frac{r}{R} < 1, n = \frac{L}{R}$$

$$F(\theta) = 1,$$

если

$$0 \leq \theta \leq \arctg \left(\frac{1-m}{n} \right);$$

$$F(\theta) = \frac{1}{\pi} \left\{ a + \frac{\arcsin(m \sin \alpha)}{m^2} - \frac{n \tg \theta \sin \alpha}{m} \right\},$$

если

$$\arctg \left(\frac{1-m}{n} \right) \leq \theta \leq \theta_{\max} = \arctg \left(\frac{1+m}{n} \right),$$

где

$$a = \arccos \frac{m^2 - 1 + n^2 \tg^2 \theta}{2mn \tg \theta};$$

$$\text{при } m = \frac{r}{R} \geq 1$$

$$F(\theta) = m^{-2},$$

если

$$0 \leq \theta \leq \arctg \left(\frac{m-1}{n} \right);$$

$$F(\theta) = \frac{1}{\pi m^2} \left\{ \beta + m^2 \arcsin \left(\frac{\sin \beta}{m} \right) - n \tg \theta \sin \beta \right\},$$

если

$$\arctg \left(\frac{m-1}{n} \right) \leq \theta \leq \theta_{\max} = \arctg \left(\frac{m+1}{n} \right),$$

где

$$\beta = \arccos \frac{1 - m^2 + n^2 \tg^2 \theta}{2n \tg \theta}.$$

Коллиматор прямоугольного сечения показан на рис. 2. Система может состоять либо из одного коллиматора, либо из набора коллимирующих ячеек

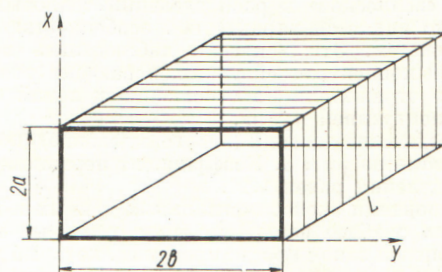


Рис. 2. Коллиматор прямоугольного сечения.

одинаковой формы. Задача в обоих случаях сводится к задаче Бюффона с двумя взаимно перпендикулярными системами параллельных прямых [1]. Расстояние между прямыми одной системы равно $2a$, между пря-

мыми другой системы — $2b$, длина иглы $L \operatorname{tg} \theta$, где θ — орбитальный угол вылета частицы.

Опустив рассмотрение формы полей событий для этого случая, приведем формулу вероятности прохождения частицы через коллимирующую систему прямоугольного сечения в зависимости от угла θ :

$$F(\theta) = 1 - \frac{\operatorname{tg} \theta}{2\pi} \left(q + p - \frac{qp \operatorname{tg} \theta}{2} \right),$$

если

$$0 \leq \theta \leq \operatorname{arctg} \left(\frac{1}{q} \right);$$

$$\begin{aligned} F(\theta) = 1 - \frac{2}{\pi} & \left[q \operatorname{tg} \theta (1 - \sqrt{1 - (q \operatorname{tg} \theta)^2}) + \right. \\ & + \operatorname{arccos} \left(\frac{1}{q \operatorname{tg} \theta} \right) - \frac{1}{2} qp \operatorname{tg}^2 \theta + \frac{p}{q} \left. \right], \end{aligned}$$

если

$$\operatorname{arctg} \left(\frac{1}{q} \right) \leq \theta \leq \operatorname{arctg} \left(\frac{1}{p} \right);$$

$$\begin{aligned} F(\theta) = 1 - \frac{2}{\pi} & \left[\operatorname{arccos} \left(\frac{1}{q \operatorname{tg} \theta} \right) + \right. \\ & + \operatorname{arccos} \left(\frac{1}{p \operatorname{tg} \theta} \right) - \sqrt{(q \operatorname{tg} \theta)^2 - 1} - \\ & - \sqrt{(p \operatorname{tg} \theta)^2 - 1} + \frac{1}{2} qp \operatorname{tg}^2 \theta + \\ & \left. + \frac{1}{2} \left(\frac{q}{p} + \frac{p}{q} \right) \right], \end{aligned} \quad (2)$$

если

$$\operatorname{arctg} \left(\frac{1}{p} \right) \leq \theta \leq \theta_{\max} = \operatorname{arctg} \sqrt{q^{-2} + p^{-2}},$$

$$q = \frac{L}{2a} \geq p = \frac{L}{2b}.$$

Угловое распределение излучения на выходе коллимирующей системы определяется выражением

$$\Phi(\theta) d\theta = F(\theta) I(\theta) d\theta, \quad (3)$$

где $I(\theta)$ — угловое распределение излучения на входе коллиматора; при изотропном распределении $I(\theta) \sim \sin \theta$.

На рис. 3 показаны угловые распределения излучения на выходе коллиматора квадратного сечения ($q = p$) при изотропном распределении на входе для нескольких значений q .

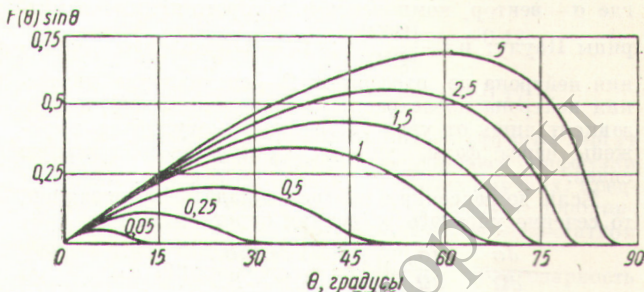


Рис. 3. Угловое распределение излучения на выходе коллиматора квадратного сечения.

Доля излучения, проходящего через коллимирующую систему, вычисляется по формуле

$$\Omega = \frac{\int_0^{\theta_{\max}} F(\theta) I(\theta) d\theta}{\int_{\pi/2}^{\pi} I(\theta) d\theta}. \quad (4)$$

В целях проверки метода были проведены вычисления по формуле (4) для коллимирующей системы конической формы. Результаты вычислений хорошо согласуются с данными работы [2].

Предложенный метод может быть применен к широкому кругу задач. Использование его значительно упростит вычисления.

Поступило в Редакцию 8/II 1964 г.
В окончательной редакции 19/III 1964 г.

ЛИТЕРАТУРА

- Б. В. Гнеденко. Курс теории вероятностей. М., Физматгиз, 1961.
- К. А. Петражак, М. А. Бак. ЖТФ, XXIV, 636 (1955).

УДК 539.125.523.33

Диффузия нейтронов при спин-орбитальном взаимодействии

Ю. Н. Казаченков, В. В. Орлов

Спин-орбитальное взаимодействие приводит к поляризации быстрых нейтронов при их рассеянии на ядрах. В ряде случаев эксперимент показывает весьма высокую степень поляризации [1, 2]. Рассеяние же поляризованных нейтронов отличается азимутальной асимметрией, приводящей к преимущественному рассеянию нейтронов в направлении, обратном направлению падающего пучка. Качественное рассмотрение поляризационного эффекта при отражении нейтронов от сред проведено в работе [3].

Многократное рассеяние нейтронов при диффузии в веществе приводит к некоторой средней поляризации нейтронов, влияющей в свою очередь на процесс диффузии. В первом приближении поляризационный эффект можно охарактеризовать изменением коэффициента диффузии нейтронов.

Как показал Лепор [4], если спин нейтрона до рассеяния описывался спинором $\chi_m^{1/2}$, то амплитуда упругого рассеяния такого нейтрона на ядре без спи-